

О РАСЧЕТЕ ВПАДИНЫ ЗА ПОДВОДНЫМ КРЫЛОМ КОНЕЧНОГО РАЗМАХА И ПЛОСКОЙ ГЛИССИРУЮЩЕЙ ПЛАСТИНКОЙ

Л. А. Эпштейн *

На базе использования гипотезы плоских сечений дается решение задачи о впадине, образующейся за малопогруженным подводным крылом конечного размаха. Результаты расчетов длины и наибольшей глубины впадины удовлетворительно согласуются с экспериментом. Решение обобщается на случай плоской глиссирующей пластинки.

Различные аспекты вопросов теории глиссирования и подводного крыла, созданной в тридцатых годах трудами академиков М. В. Келдыша, Н. Е. Коцина, М. А. Лаврентьева и Л. И. Седова, продолжают интересовать науку и промышленность.

До сих пор расчет впадины за подводным крылом производился полуэмпирическим формулам, полученным на базе теории размерностей и систематических опытов.

В настоящей заметке предлагается метод теоретического расчета формы диаметрального сечения впадины, образующейся за подводным крылом и плоской глиссирующей пластинкой.

При построении теории будем исходить из обычно принимаемых допущений:

- 1) будем считать справедливой гипотезу плоских сечений;
- 2) будем рассматривать достаточно малые возмущения свободной поверхности и достаточно большие числа Фруда, чтобы можно было моделировать подводное крыло схемой биплана.

Рассмотрим подводное крыло с хордой b и размахом l , движущееся в глубине h со скоростью v . За крылом образуется впадина с шириной, близкой к размаху крыла. При малых погружениях крыла попеченные сечения впадины близки к прямоугольным. С удалением от крыла впадина сужается и переходит в гребень.

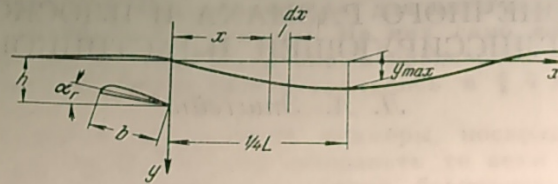
Движение вдоль вертикали участка свободной поверхности длиной можно получить из условия (фиг. 1)

$$m\ddot{y} = Y_A,$$

где m — присоединенная масса элемента пластинки шириной l и протяженностью dx , Y_A — архимедова сила, действующая на элемент. При расчете величины m будем исходить из известной теории Прандтля [3], согласно которой непрерывное давление крыла на встречаемые им

* Центральный аэрогидродинамический институт имени Н. Е. Жуковского, Москва.

массы жидкости можно заменить мгновенным давлением крыла, как доски с размахом l и длиной, равной пройденному крылом пути. Учит того, что крыло погружено на некоторую глубину, произведем, считая



Фиг. 1.

его нижним крылом биплана с расстоянием $2h$ между крыльями. При этих предположениях

$$(2) \quad m = \frac{\pi \rho l^2}{4 z_1},$$

где функция $z_1(h/l)$ найдена Е. А. Федоровым [7]. Так как очевидно, что

$$(3) \quad Y_A = -\rho g l y \, dx,$$

то, подставляя (2) и (3) в (1), получим

$$(4) \quad \ddot{y} + n^2 y = 0,$$

где

$$(5) \quad n = \sqrt{\frac{4 g z_1}{\pi l}}.$$

Решением (4) будет

$$(6) \quad y = A \cos nt + B \sin nt.$$

Время, истекшее с момента прохождения крыла под элементом dx с координатой x , будет $t = x/v$; следовательно,

$$(6') \quad y = A \cos \frac{n}{v} x + B \sin \frac{n}{v} x.$$

Одно из граничных условий для определения констант примем в виде: $y = 0$ при $x = 0$, откуда получим $A = 0$ и

$$(7) \quad y = B \sin \frac{n}{v} x = B \sin \frac{2\pi}{L} x.$$

Заметим, что произведенный расчет справедлив в пределах $x \sim 1/L$, когда впадина имеет еще приблизительно параллельные края и ее сечения близки к прямоугольнику.

С учетом (7) и (5) найдем

$$(8) \quad \frac{L}{4} = \sqrt{\frac{\pi^3}{16 z_1}} Fr \sqrt{\lambda},$$

где

$$(9) \quad L = \frac{b}{b}, \quad \lambda = \frac{l}{b}, \quad Fr = \frac{v}{\sqrt{gb}}.$$

На фиг. 2 приведено сопоставление расчета по (8) с результатами эксперимента [8] (обозначения те же, что на фиг. 4 — см. стр. 639). величина x_1 находилась по данным таблицы, заимствованной из [7].

Таблица

$100 \frac{h}{l}$	x_1	$100 \frac{h}{l}$	x_1	$100 \frac{h}{l}$	x_1
0	2	10.9			
3.46	1.715	18.5	1.450	39.3	
4.02	1.695	23.0	1.308	55.7	1.437
4.78	1.658	28.1	1.256	92.1	1.080
5.88	1.610	32.2	1.204	143.4	1.038
7.67	1.540	35.8	1.175	225	1.032
			1.153	374	1.022
					1.004

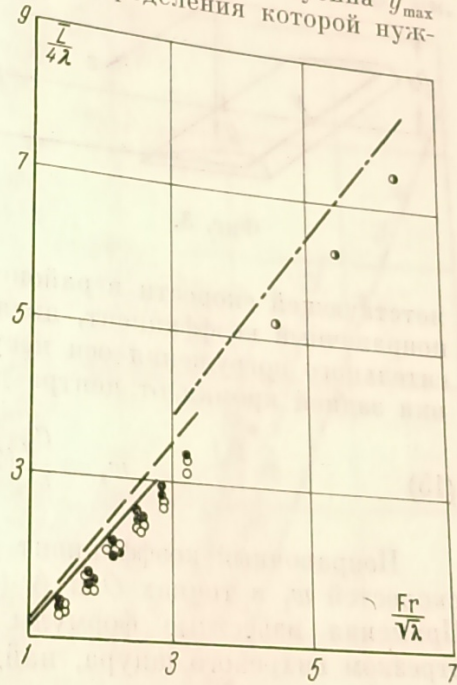
Перейдем к расчету глубины впадины. Наибольшая глубина y_{\max} согласно (7) будет равна постоянной B , для определения которой нужно знать начальную скорость опускания слоя у задней кромки крыла и угол скоса потока в этой области.

Известно (см., например, [3]), что крыло с эллиптическим распределением нагрузки, движущегося в бесконечной жидкости, поверхность раздела опускается со скоростью

$$w = \frac{2C_y}{\pi\lambda} v_0.$$

«подводного крыла прямоугольной формы эта скорость возрастает за счет изменения формы в плане и за счет плоского эффекта» [7]. С учетом поправок

$$w = \frac{2C_y}{\pi\lambda} (1 + \tau) x_1 v.$$



Фиг. 2.

для малых погружений крыла в первом приближении можно принять эту скорость начальной скорости опускания свободной поверхности таким образом получить

$$\dot{y}|_{t=0} = Bn = \frac{2C_y}{\pi\lambda} (1 + \tau) x_1 v.$$

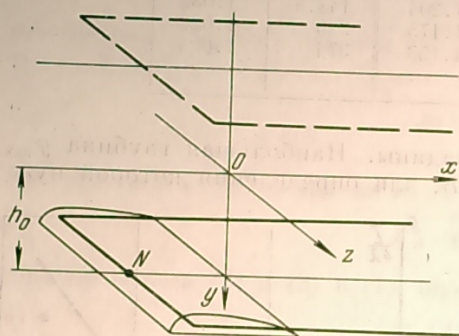
ответствии с этой формулой угол наибольшего склона продольного профиля впадины

$$\alpha_{\max} = \frac{2C_y}{\pi\lambda} (1 + \tau) x_1,$$

а величина максимальной глубины впадины $y_{\max} = B$, отнесенная к хорде крыла и к значению C_y , может быть с учетом формул (12) и (5) выражена в виде

$$(14) \quad \frac{y_{\max}}{C_y} = \sqrt{\frac{z_1}{\pi \sqrt{\lambda}}} Fr (1 + \tau).$$

При использовании формулы (11) учитывалось, что, хотя индуцированная сбегающими вихрями скорость w_1 с приближением к крылу уменьшается, в этой области должны быть еще приняты во внимание скорости w_2 , вызванные несущим вихрем. Суммарная вертикальная скорость в районе крыла $w = w_1 + w_2$ слабо зависит от координаты x , примерно соответствуя формуле (11), а для крыла в безграничной жидкости — формуле (10), и даже несколько возрастает с приближением к задней кромке (см., например, [1, 9]).



Фиг. 3.

соответствующей скорости в районе центра давления крыла на некоторый поправочный коэффициент, являющийся функцией удлинения λ , относительного погружения оси несущего вихря \bar{h}_1 и безразмерного расстояния задней кромки от центра давления \bar{b}_1 , т. е. положим

$$(15) \quad w_1 = \frac{C_y}{\pi \lambda} (1 + \tau) z_1 f_1 (\lambda, \bar{h}_1, \bar{b}_1).$$

Поправочный коэффициент f_1 найдем как отношение вертикальных скоростей w_1 в точках O и N (фиг. 3) при П-образной вихревой схеме. Применяя известные формулы для вычисления скорости, вызванной отрезком вихревого шнуря, найдем

$$(16) \quad f_1 = \frac{w_{1O}}{w_{1N}} \frac{1 + \frac{S}{\sqrt{1 + S_1^2 + S_2^2}}}{(1 + S_2^2) \left(1 + \frac{1}{1 + 4S_2^2} \right)},$$

где

$$(17) \quad S_1 = 2 \frac{\bar{b}_1}{\lambda}, \quad S_2 = 2 \frac{\bar{h}_1}{\lambda}.$$

Для вертикальной скорости w_2 , вызванной в точке O несущими вихрями, аналогично получим

$$(18) \quad w_2 = \frac{C_y}{\pi \lambda} \frac{S_1}{S_1^2 + S_2^2} \frac{1}{\sqrt{1 + S_1^2 + S_2^2}}.$$

$$w = w_1 + w_2 = \frac{C_y}{\pi \lambda} f,$$

$$f = (1 + \tau) x_1 \frac{1 + \frac{S_1}{\sqrt{1 + S_1^2 + S_2^2}}}{(1 + S_2^2) \left(1 + \frac{1}{1 + 4S_2^2} \right)} + \frac{S_1}{(S_1^2 + S_2^2) \sqrt{1 + S_1^2 + S_2^2}}.$$

Окончательные формулы для определения α_{\max} и величины y_{\max}/C_y
примут теперь вид

$$\alpha_{\max} = \frac{C_y}{\pi \lambda} f, \quad \frac{y_{\max}}{C_y} = \frac{f}{2 \sqrt{\pi x_1} \sqrt{\lambda}} \text{Fr}.$$

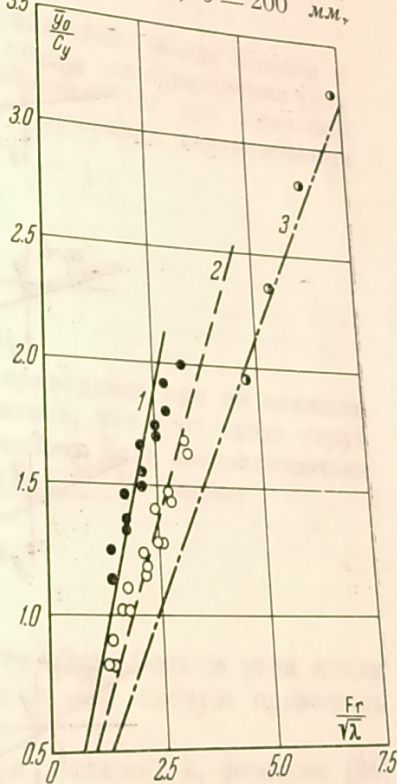
На фиг. 4 результаты расчетов глубины по формулам (21) и (20) приведены с данными эксперимента [8] ($1 - \lambda = 4$, $b = 200$ мм, $\tau = 0.2$, $\alpha_r = -1^\circ \div -6^\circ$; $2 - h = 0.7$, $\lambda = 2$, $b = 62$ мм, $\tau = 0.7$, $\alpha_r = 10^\circ$). При расчетах принято $\lambda = 4$. Расчеты для крыла с $\lambda = 4$ проведены для угла $\alpha_r = 3^\circ$. Согласование расчета и эксперимента по определению глубины впадины оказывается очень хорошим, в то время как длина впадины по расчету получается на 10–15% больше, чем в опытах (см. фиг. 2). Это объясняется неучтенным в теории перечным смыканием впадины, передавшей затем в гребень. За счет попечного смыкания продольный профиль впадины искажается и длина первой четверти волны несколько уменьшается, в то время как глубина впадины почти не меняется.

Расчет впадины за плоской глиссирующей пластинкой, движущейся с большими числами Фруда, может быть выполнен на основании аналогичных соображений в соответствии с уравнением (6).

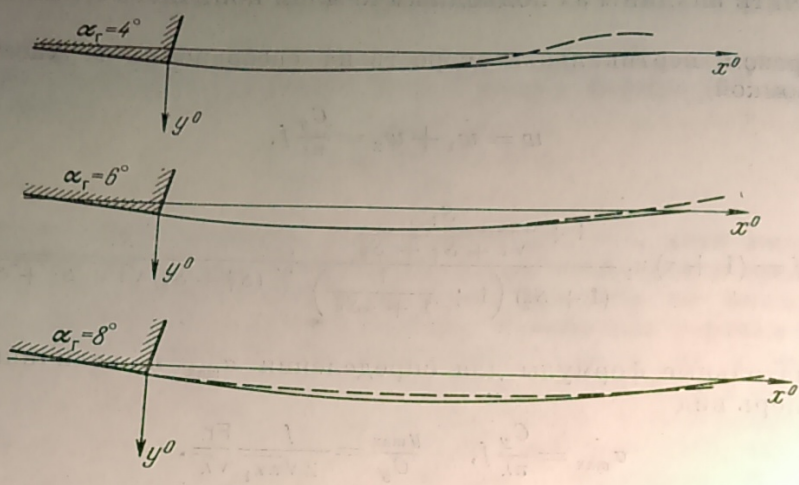
Границные условия для определения впадины примут вид: $y = h$, $\dot{y} = 0$ при $x = 0$. Здесь h — осадка задней кромки глиссирующей пластины, а α — угол схода струй. Уравнение центрального сечения впадины получим в виде

$$y = h \cos kx + \frac{\alpha}{k} \sin kx,$$

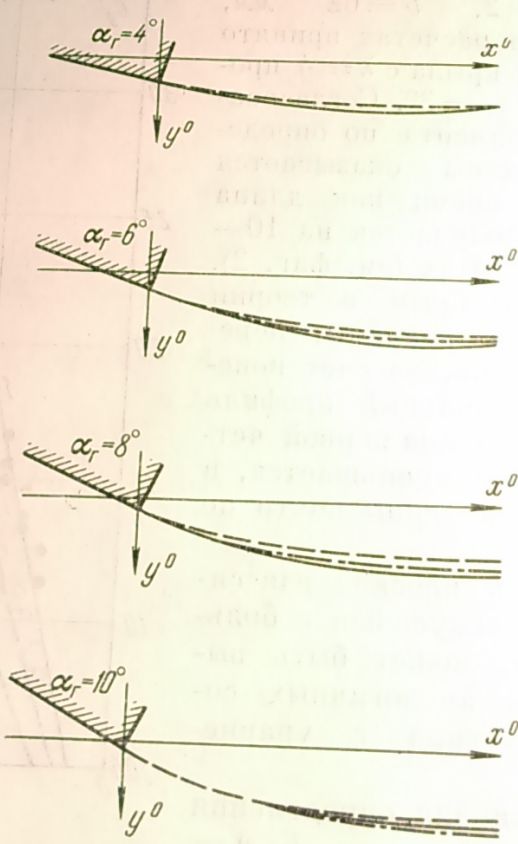
Угол при фиксированном h определяет величину h_1 .



Фиг. 4.



Фиг. 5.



Фиг. 6.

$$k = \frac{n}{v} = \sqrt{\frac{8}{\pi}} \frac{1}{l Fr_l}.$$

Для глиссирующей пластинки принято в качестве характерного единого размера выбирать ее ширину, т. е. в наших обозначениях l ; соответственно вводится число Фруда $Fr_l = v/\sqrt{gl}$. Будем обозначать безразмерные величины, отнесенные к l , индексом «0» (например, $= h^0$, $kl = k^0$). Заметим также, что под удлинением, как и для смоченной длины (в работах по глиссированию удлинением часто называется обратная величина). Для наибольшей глубины впадины y_{\max}^0 и ее расстояния x от задних кромок пластинки получим из (22) формулы

$$y_{\max}^0 = \frac{\alpha}{k^0} \sqrt{1 + \frac{k^0 h^0}{\alpha}}, \quad x^0 = \frac{1}{k^0} \arctg \frac{\alpha}{k^0 h^0}.$$

Л. И. Седов [4—5] отметил глубокую аналогию между крылом и глиссирующей пластинкой. В соответствии с этим для определения угла атаки струй может быть использована формула (13) при значении C_y вместо C_B , принятый при исследованиях глиссирования

Text

$$C_B = \frac{2Y}{\rho v^2 l^2} = \frac{C_y}{\lambda},$$

и написать *

$$\alpha = \frac{4}{\pi} C_B.$$

Формула (13), а следовательно и (25), справедлива при не слишком больших удлинениях. При малых λ можно считать, что угол схода струй равен геометрическому углу атаки пластинки α_g . Если воспользоваться известной формулой Л. И. Седова

$$\frac{C_B}{\alpha_g} = \frac{0.7\pi}{\lambda + 1.4}$$

шность, что угол схода струй не может быть больше угла атаки пластинки, то можно получить, что условие $\alpha = \alpha_g$ следует применять при $C_B/\alpha > 1/4\pi$, т. е. при $\lambda < 1.4$.

При малых смоченных длинах, т. е. при больших λ , формулы (24) можно приближенно записать в виде

$$\frac{y_{\max}^0}{C_B} = \sqrt{\frac{2}{\pi}} Fr_l, \quad x^0 = \frac{\pi}{2k^0} - \frac{h^0}{\alpha} = \sqrt{\frac{\pi^3}{32}} Fr_l - \frac{1}{\lambda}.$$

Поставление расчетов диаметрального сечения впадины за плоской глиссирующей пластинкой с опытами приведено на фиг. 5—6. На фиг. 5

* Малую поправку τ учитывать не следует, так как передний контур смоченной поверхности приближает ее форму к эллиптической.